

MATERIALES MAGNÉTICOS

INTRODUCCIÓN

Se estudia ahora la naturaleza de materiales magnéticos que utilizados como núcleos de inductores y toroides mejoran el comportamiento de los mismos.

Este estudio es análogo al ya realizado cuando se aumentó significativamente la capacitancia de un capacitor mediante la introducción de dieléctricos entre sus placas.

En magnetismo, el material magnético introducido como núcleo de un devanado, modifica el campo magnético original y por lo tanto el parámetro inductancia.

No menos importante es la utilización de materiales magnéticos para el acople magnético entre circuitos eléctricos. El ejemplo más simple es el del transformador en fuentes de alimentación.

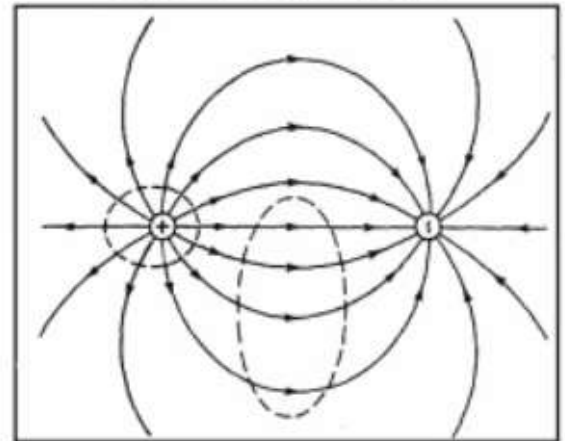
NO EXISTEN POLOS MAGNÉTICOS AISLADOS

En página 1 del tema CAPACITORES se pudo negativizar una placa conductora y simultáneamente positivizar otra enfrentada a la primera. La mínima unidad con la que se operó fue la CARGA ELÉCTRICA.

$$\epsilon_0 \oint \mathbf{E} \cdot d\mathbf{S} = q.$$

LEY DE GAUSS

DIPOLO ELÉCTRICO

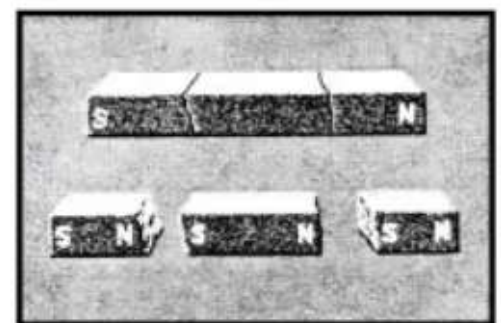


CARGAS AISLADAS

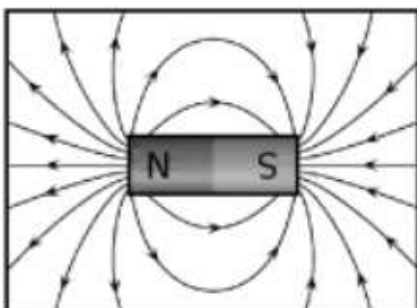
En magnetismo ES IMPOSIBLE MANIPULAR POLOS MAGNÉTICOS AISLADAMENTE.

Por más que fraccionemos una y otra vez un material magnético, la mínima unidad operable es el DIPOLO MAGNÉTICO elemental.

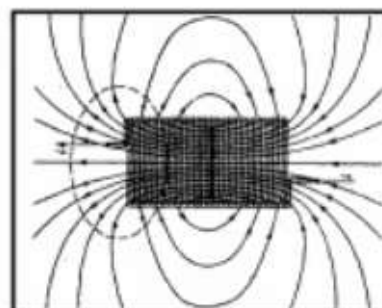
Tanto un IMÁN RECTO, UN SOLENOIDE, UNA ESPIRA DE CORRIENTE, tienen un polo norte y un polo sur en una misma unidad.



DIPOLOS MAGNÉTICOS



POLOS INSEPARABLES
en un imán recto



POLOS INSEPARABLES
en un solenoide

$$\Phi_B = \oint \mathbf{B} \cdot d\mathbf{S} = 0,$$

LEY DE GAUSS

DISTINTOS MATERIALES MAGNÉTICOS

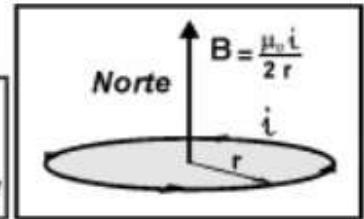
Un electrón rotando alrededor de su núcleo puede ser considerado como una espira infinitesimal de corriente, es decir un microimán con polo norte y sur.

Por ejemplo:

$$\left. \begin{aligned} \frac{e^2}{4 \epsilon_0 r^2} &= m (2\pi f)^2 r \\ i &= e \cdot f \end{aligned} \right\} \Rightarrow i = 26 \mu A \Rightarrow B = \frac{\mu_0 i}{2 \cdot r} = 80 \text{ mT}$$

$$\begin{aligned} r &= 5,1 \times 10^{-11} \text{ m} \\ e &= 1,6 \times 10^{-19} \text{ C} \\ m &= 1,67 \times 10^{-27} \text{ kg} \end{aligned}$$

ESPIRA DE CORRIENTE



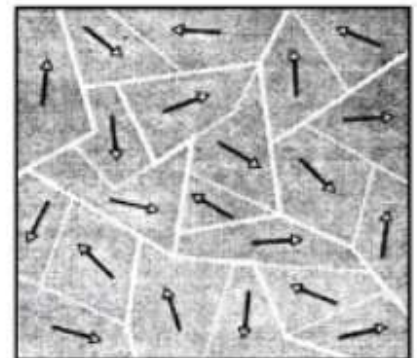
Puede suceder que un átomo tenga las órbitas orientadas de tal manera que en conjunto, el efecto magnético neto sea nulo. Este es el caso de los materiales llamados **DIAMAGNÉTICOS**, que al estar sumergidos en un campo magnético externo B_0 , generan un contracampo B_M de pequeño valor. (ejemplo los gases nobles, cobre, oro, silicio, germanio, grafito, bronce, azufre).

Si por el contrario, las órbitas se orientan espontáneamente tal que en total presentan un comportamiento dipolar no nulo por default, entonces la presencia de un campo magnético externo producirá un alineamiento de los dipolos elementales en su mismo sentido. Estos son los materiales **PARAMAGNÉTICOS** (aire, magnesio, aluminio, titanio, wolframio) y los **FERROMAGNÉTICOS** (hierro, cobalto, níquel, gadolinio, etc)

Los materiales **PARAMAGNÉTICOS** se magnetizan muy poco. Superponen un campo magnetizante B_M de pequeño valor. Los materiales magnéticos más propensos a ser magnetizados son los **FERROMAGNÉTICOS**. Sus dipolos elementales de igual orientación y de un estricto paralelismo entre átomos adyacentes se agrupan en regiones llamadas **DOMINIOS MAGNÉTICOS**. A este fenómeno se lo llama **ACOPLAMIENTO POR INTERCAMBIO**.

Cada dominio magnético tiene su propia orientación común. Los **DOMINIOS** están separados por las **PAREDES DE DOMINIOS**.

Si no existe campo magnético externo, la orientación de los dominios es al azar como se muestra en la figura. Al aplicar un campo externo, los dominios se alinean tal que el campo resultante es mucho mayor.



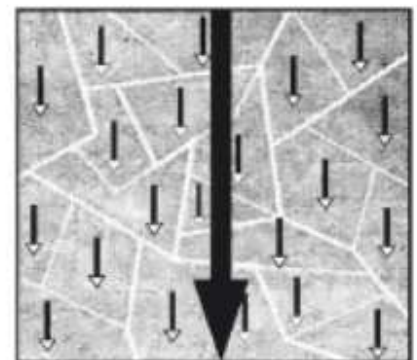
dominios de material magnético no imantado

Los materiales ferromagnéticos se diferencian de los paramagnéticos no sólo por el mayor valor del campo magnetizante adicionado sino que además por la cualidad llamada **MAGNETISMO REMANENTE**. Es decir, mantienen el campo magnetizante aun en ausencia del campo externo inicialmente aplicado.

En todos los casos se cumple que:

$$\vec{B} = \vec{B}_0 + \vec{B}_M \quad (\text{Tesla o Weber/m}^2)$$

campo magnético total campo magnético en vacío (original o sin núcleo) campo magnetizante



dominios alineados por campo magnético externo

DIAMAGNETISMO UN POCO MÁS DETALLADAMENTE

En realidad en todos los materiales magnéticos se verifica diamagnetismo. Sucede que en materiales paramagnéticos y ferromagnéticos el diamagnetismo es comparativamente tan pequeño, que no llega a notarse.

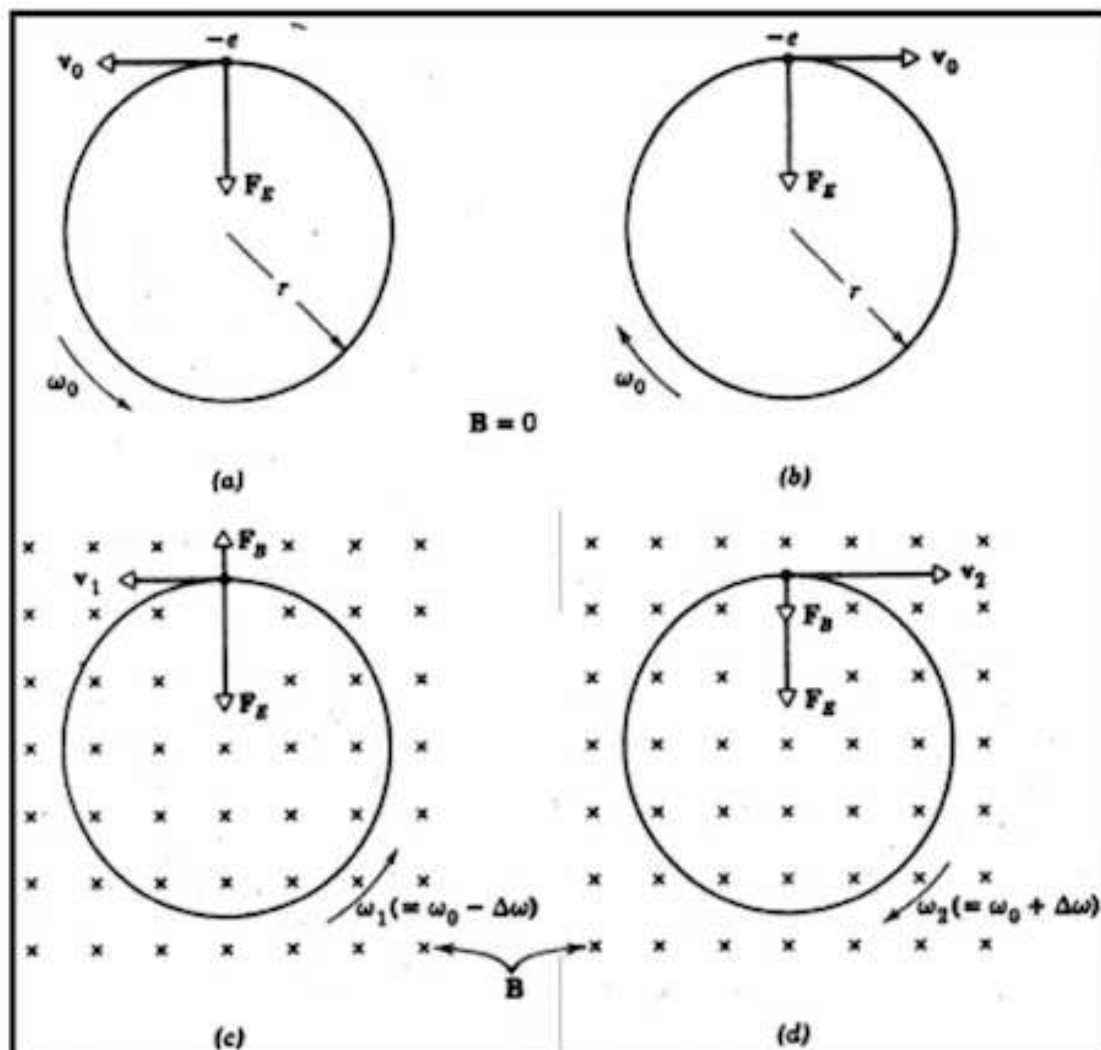
Estos materiales no tienen átomos dipolares por default. Los efectos magnéticos de la azarosa orientación de sus órbitas se anulan exactamente de modo que el átomo **NO ES MAGNÉTICO**. Por lo tanto el campo externo B_0 produce un alineamiento nulo. (En la lámina de abajo se indica esta cualidad con dos órbitas de velocidad opuesta y por lo tanto con un efecto magnético total, nulo.)

De todos modos el campo externo B_0 actúa sobre los electrones orbitantes (que funcionan como corrientes eléctricas).

Según lo visto en la ley de Lorentz, se genera una fuerza que cambia la fuerza centrípeta en cada electrón. (ver figuras "c" y "d").

Consecuentemente cambiará su velocidad de rotación como se puede ver al comparar entre los gráficos "a" y "c" como así también entre "b" y "d".

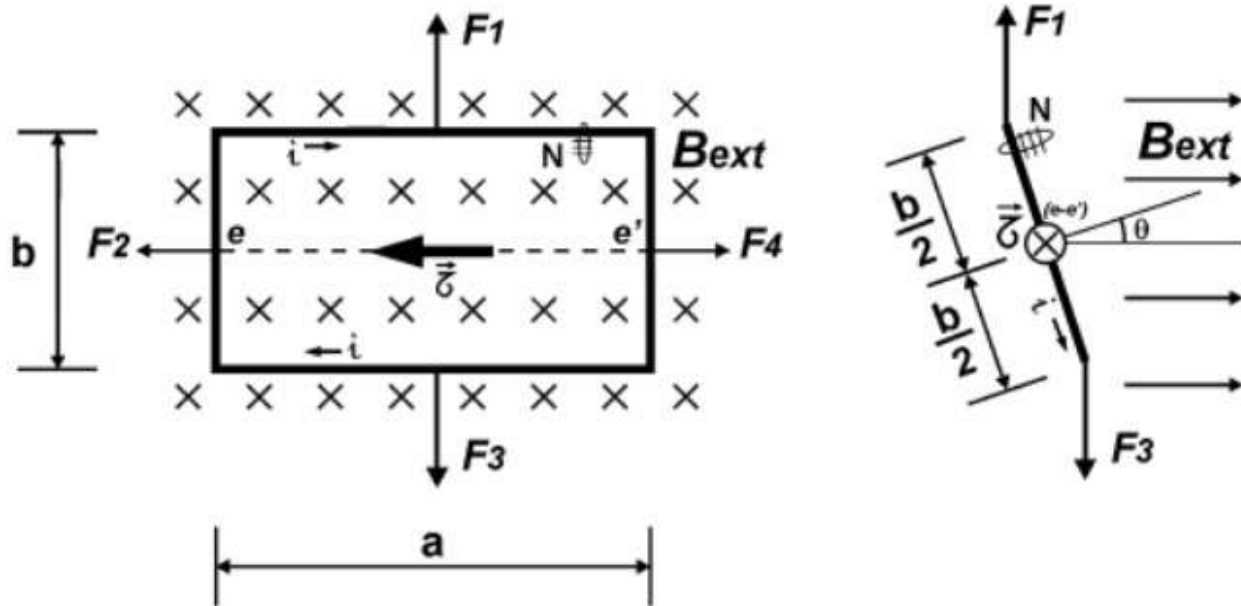
Según la regla de mano derecha, ambos casos generan un campo magnetizante opuesto al externo. Por esto, un material diamagnético tiene una susceptibilidad negativa.



(a) Un electrón circulando en un átomo. (b) Un electrón circulando en sentido contrario. (c) Al introducirse un campo magnético, disminuye la velocidad lineal del electrón en (a), esto es, $v_1 < v_0$. (d) El campo magnético aumenta la velocidad lineal del electrón en (b), esto es, $v_2 > v_0$.

CUPLA QUE EJERCE UN CAMPO MAGNÉTICO SOBRE UNA ESPIRA

A fin de comprender el alineamiento de los dipolos elementales por obra del campo externo, se calculará la cupla que ejerce un campo B externo sobre una espira rectangular de N vueltas y de dimensiones ancho " b " y largo " a ".



Se sabe que la fuerza magnética sobre una corriente eléctrica está dada por la expresión:

$$\vec{F} = i \cdot \vec{\ell} \wedge \vec{B} \quad (\text{Newton})$$



Sólo las fuerzas $F1$ y $F3$ ejercen idéntico momento respecto del eje $(e-e')$

El momento de ambas fuerzas es: $\zeta = 2 \frac{b}{2} \cdot i \cdot a \cdot \text{sen} \theta \cdot B_{\text{ext}} \cdot N$ (N.m)
(A.m².T)
Volt.sec

El área de la superficie de la espira rectangular es: $A = a \cdot b$ (m²)

Remplazando, simplificando y reagrupando queda:

$$\zeta = \underbrace{N \cdot i \cdot A}_{|\vec{\mu}|} \cdot \text{sen} \theta \cdot B_{\text{ext}} \quad (\text{N.m}) \quad (\text{A.m}^2 \cdot \text{T})$$

El producto $(N \cdot i \cdot A)$ es el módulo del vector "MOMENTO DE DIPOLO MAGNÉTICO". y se aplica a espiras de cualquier forma, que tengan área A y corriente i .

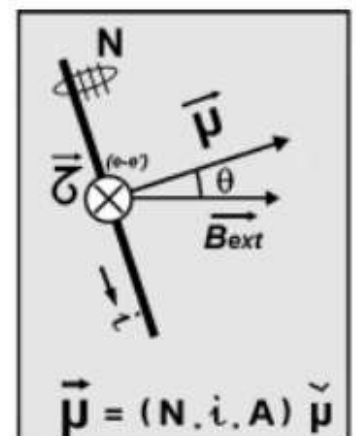
EL VECTOR "MOMENTO DEL DIPOLO MAGNÉTICO" $\vec{\mu}$ TIENE:

MÓDULO: $(N \cdot i \cdot A)$

PUNTO DE APLICACIÓN: Centro de la espira.

RECTA DE ACCIÓN: Normal al plano de la espira.

SENTIDO: se determina por la regla de la mano derecha.

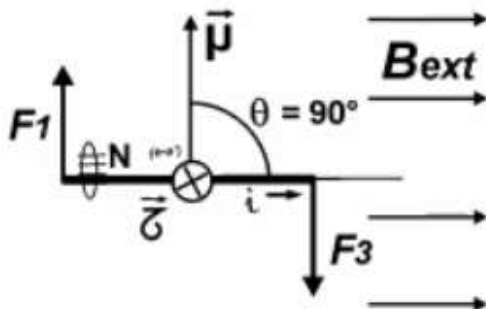


$$\vec{\mu} = (N \cdot i \cdot A) \vec{\mu}$$

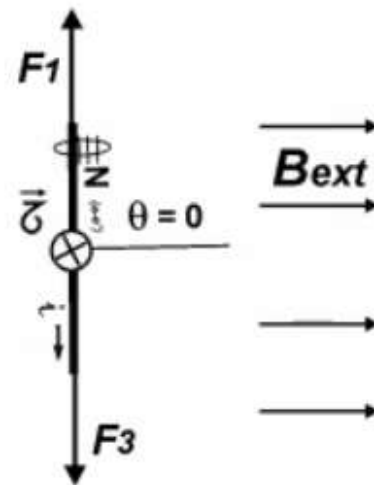
La expresión vectorial del momento que un campo magnético externo ejerce sobre un solo dipolo magnético es:

$$\vec{\zeta} = \vec{\mu} \wedge \vec{B}_{ext} \quad (\text{A.m}^2.\text{T})$$

La magnitud del momento depende del ángulo θ .



MOMENTO MÁXIMO



MOMENTO NULO

TRABAJO MECÁNICO DEL CAMPO MAGNÉTICO EXTERNO

Dado un dipolo magnético que rota desde un ángulo $\theta_{inicial}$ hasta un ángulo θ_{final} ,

el trabajo mecánico que el campo B_{ext} ejerce el dipolo magnético, resulta de la siguiente integración:

$$W = \int_{\theta_{inicial}}^{\theta_{final}} \zeta . d\theta = \int_{\theta_{inicial}}^{\theta_{final}} \underbrace{\mu . B_{ext}}_{\text{A.m}^2.\text{T}} . \text{sen} \theta . d\theta = - \underbrace{\mu . B_{ext}}_{\text{A.m}^2.\text{T}} . (\cos \theta_{final} - \cos \theta_{inicial})$$

Unidades: $\text{A.m}^2.\text{T} = \text{A.Weber} = \text{A} . \text{Volt. sec} = \text{Watt} . \text{sec} = \text{Joule}$

$$\therefore \boxed{W = \mu . B_{ext} . (\cos \theta_{inicial} - \cos \theta_{final})} \quad (\text{N.m} = \text{Joule})$$

Ejemplo:

$$\left. \begin{array}{l} N = 100 \text{ vueltas} \\ i = 100 \text{ mA} \\ \text{radio "a": } 0,05 \text{ m} \end{array} \right\} \Rightarrow \mu = 0,785 \text{ A.m}^2$$

$$\left. \begin{array}{l} B_{ext} = 1,5 \text{ Tesla} \\ \theta_{final} = 180^\circ \\ \theta_{inicial} = 0^\circ \end{array} \right\} \Rightarrow (\cos \theta_{inicial} - \cos \theta_{final}) = 2$$

$$\Rightarrow W = 0,235 \text{ Joules}$$

Energía potencial asociada al dipolo

LEY DE AMPERE PARA BOBINADOS CON NÚCLEOS MAGNÉTICOS

Se tiene el esquema de un toroide con núcleo vacío por cuyo devanado de N vueltas circula una corriente continua i_0 .
El único campo magnético circulante será B_0 .

$$\vec{B} = \vec{B}_0$$

Por ley de Ampere:
$$\oint \vec{B}_0 \cdot d\vec{l} = \mu_0 \cdot N \cdot i_0$$

Si el toroide tiene un núcleo con material magnético se tiene:

$$\vec{B} = \vec{B}_0 + \vec{B}_M$$

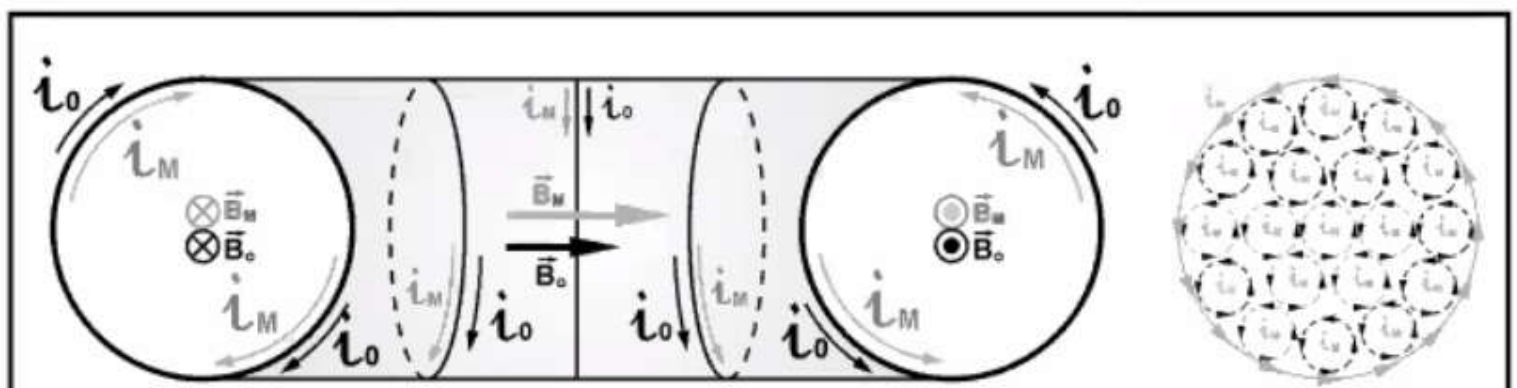
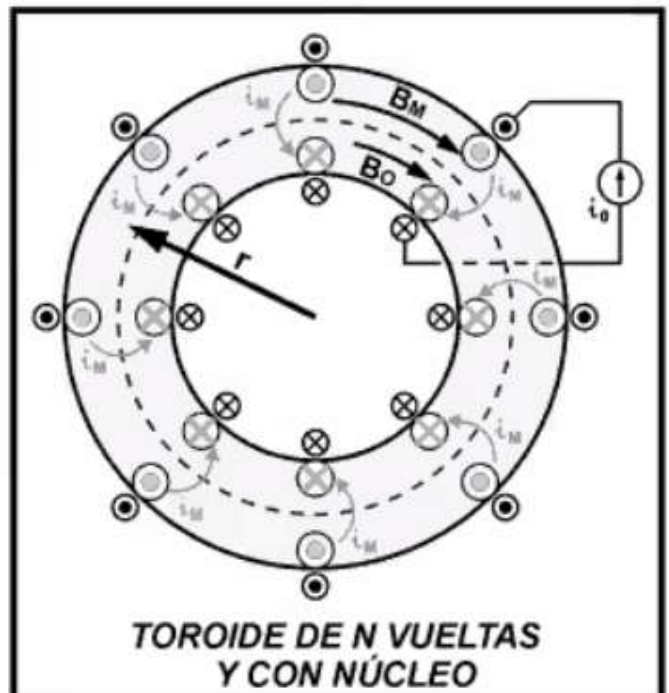
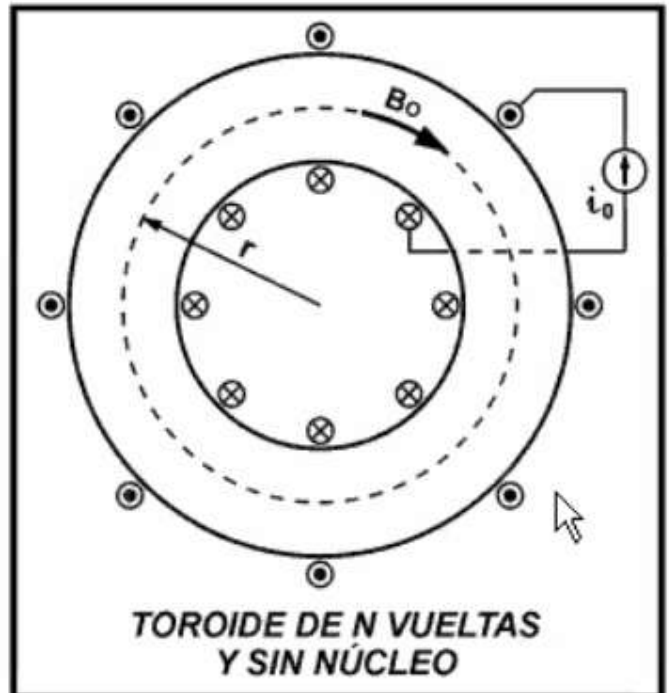
Por ley de Ampere:

$$\oint (\vec{B}_0 + \vec{B}_M) \cdot d\vec{l} = \mu_0 \cdot N \cdot (i_0 + i_M)$$

i_M es la corriente de magnetización que circula por el interior del núcleo, paralelamente a la corriente i_0 del devanado y con el mismo sentido. (suponemos inicialmente que el material no es diamagnético).

La corriente de magnetización se conforma físicamente con la superposición de las corrientes de los dipolos magnéticos de cada sección y alineados por el B_0 . Se ve que en el interior, las corrientes de las espiras se cancelan entre sí.

Resulta así la corriente periférica de valor i_M tal como muestran las figuras.



Distribuyendo en el segundo miembro resulta:

$$\oint (\vec{B}_0 + \vec{B}_M) \cdot d\vec{l} = \mu_0 \cdot N \cdot i_0 + \mu_0 \cdot N \cdot i_M$$

Distribuyendo en el primer miembro:

The diagram shows the equation $\oint \vec{B}_0 \cdot d\vec{l} + \oint \vec{B}_M \cdot d\vec{l} = \mu_0 \cdot N \cdot i_0 + \mu_0 \cdot N \cdot i_M$ enclosed in a box. A bracket above the right-hand side groups the terms as 'Componente de L. de Ampere con núcleo'. A bracket below the left-hand side groups the terms as 'Componente de L. de Ampere sin núcleo'.

POR LO TANTO se puede apreciar la coactuación simultánea de la ley de Ampere tanto en el cobre como en el núcleo del dispositivo magnético.

SUSCEPTIBILIDAD MAGNÉTICA χ (ji)

Se sabe que el campo magnetizante (o polarización magnética B_M) es el efecto que surge por acción de B_0 (causa) sobre el material magnético que constituye el núcleo.

Existe un parámetro característico de dicho material definido como la relación entre efecto y causa. Este parámetro adimensional y escalar se llama SUSCEPTIBILIDAD MAGNÉTICA χ (ji).

$$\chi = \frac{\vec{B}_M}{\vec{B}_0}$$

En materiales isótropos es un escalar dado que B_M es paralelo a B_0 . En materiales anisótropos esto no ocurre por lo que la susceptibilidad se representa por una matriz tridimensional llamada "tensor".

Ya se explicó que no todos los materiales magnéticos tienen la misma respuesta ante un campo magnético externo aplicado.

Materiales Ferromagnéticos: $\chi \gg 1 \Rightarrow \vec{B}_M \gg \vec{B}_0 \longrightarrow \vec{B}_M \left\{ \begin{array}{l} \text{aditivo y de} \\ \text{gran módulo} \end{array} \right.$

Materiales Paramagnéticos: $\chi > 0 \Rightarrow \vec{B}_M > \vec{B}_0 \longrightarrow \vec{B}_M \left\{ \begin{array}{l} \text{aditivo y de} \\ \text{pequeño módulo} \end{array} \right.$

Materiales Diamagnéticos: $\chi < 0 \Rightarrow \vec{B}_M$ opuesto a \vec{B}_0 y de pequeño módulo

Aire o vacío: $\chi = 0 \Rightarrow \vec{B}_M = \vec{0} \therefore \vec{B} = \vec{B}_0$

Tabla de susceptibilidades magnéticas χ_m a T ambiente y a una presión de 1 atmósfera

Paramagnéticos (+)		Diamagnéticos (-)	
Oxígeno	1.9×10^{-6}	Hidrógeno	-2.08×10^{-9}
Sodio	8.4×10^{-6}	Nitrógeno	-6.7×10^{-9}
Magnesio	1.2×10^{-5}	CO ₂	-1.19×10^{-8}
Aluminio	2.1×10^{-5}	Alcohol	-0.75×10^{-5}
Tungsteno	7.6×10^{-5}	Agua	-0.91×10^{-5}
Titanio	1.8×10^{-4}	Cobre	-0.98×10^{-5}
Platino	2.9×10^{-4}	Plata	-2.64×10^{-5}
Uranio	4.0×10^{-4}	Oro	-3.5×10^{-5}

EJEMPLO:

Se tiene un toroide de radio medio 10cm, con núcleo aire y un devanado de 628 vueltas. Por el cobre circula una corriente de 2A.

a) Calcular el campo magnético en su núcleo.

b) Recalcular si el núcleo es de material magnético de susceptibilidad 400.

c) Calcule la corriente de magnetización i_M del caso b).

Solución

$$a) \oint \vec{B}_o \cdot d\vec{l} = \mu_o \cdot N \cdot i_o \Rightarrow B_o = \frac{\mu_o N i_o}{2\pi r} = \boxed{2.512 \mu T}$$

$$b) B_M = \chi \cdot B_o \Rightarrow B_M = 400 \times 2.512 \mu T = 1.004.800 \mu T$$

$$\therefore B = B_o + B_M \Rightarrow \boxed{B = 1.007.312 \mu T}$$

$$c) \frac{\oint \vec{B}_M \cdot d\vec{l}}{\oint \vec{B}_o \cdot d\vec{l}} = \frac{\mu_o \cdot N \cdot i_M}{\mu_o \cdot N \cdot i_o} \cdot \frac{\overset{\chi}{\cancel{B_M} \cdot 2\pi r}}{\cancel{B_o} \cdot 2\pi r} = \frac{\mu_o \cdot N \cdot i_M}{\mu_o \cdot N \cdot i_o}$$

$$\Rightarrow \frac{i_M}{i_o} = \chi \Rightarrow i_M = \chi \cdot i_o \therefore \boxed{i_M = 800 A}$$

CONCLUSIÓN:

SI NO SE HUBIESE INCLUIDO EL NÚCLEO, LA CORRIENTE EXTERNA DEBERÍA SER DE 802 AMPERES PARA QUE EL DISPOSITIVO TENGA EL MISMO COMPORTAMIENTO QUE CON NÚCLEO.

PERMEABILIDAD MAGNÉTICA RELATIVA μ_r

Es otra propiedad del material magnético que evalúa cuán magnetizable es. Se define como el cociente entre el campo magnético B y B_0 .

$$\mu_r = \frac{\vec{B}}{\vec{B}_0} \quad (\text{adimensional})$$

Por definición de susceptibilidad, se puede expresar el campo magnético total como:

$$\vec{B} = \vec{B}_0 + \chi \cdot \vec{B}_0 \quad \text{siendo } B_0 \text{ el factor común} \quad \vec{B} = \vec{B}_0 \cdot (1 + \chi)$$

∴ según la definición se tiene que:

$$\mu_r = (1 + \chi)$$

CLASIFICACIÓN DE MATERIALES SEGÚN SU PERMEABILIDAD RELATIVA

Materiales Ferromagnéticos: $\mu_r \gg 1$

Materiales Paramagnéticos: $\mu_r \gtrsim 1$

Materiales Diamagnéticos: $\mu_r \lesssim 1$

Aire o vacío: $\mu_r = 1$

Material	Permeabilidad magnética relativa
Hierro, 99,8% pureza	5.000
Hierro, 99,95% pureza	200.000
Permalloy 78	100.000
Superpermalloy	1.000.000

PERMEABILIDAD MAGNÉTICA RELATIVA DE ALGUNOS MATERIALES FERROMAGNÉTICOS

En base a los RESULTADOS del ejemplo anterior, se verifica la relación entre permeabilidad relativa y susceptibilidad magnéticas:

$$\mu_r = \frac{\vec{B}}{\vec{B}_0} = \frac{1.007.312 \mu\text{T}}{2.512 \mu\text{T}} = 401$$

VECTORES SUBSIDIARIOS \vec{H} y \vec{M} (A/m)

Son vectores matemáticos auxiliares que simplifican el cálculo de los vectores físicos. Se recuerda la incorporación del vector DESPLAZAMIENTO ELÉCTRICO en el tema CAPACITORES. En ese momento, el simple cálculo de la densidad superficial de carga libre permitía el post-cálculo inmediato de los distintos valores de campo eléctrico dentro de dieléctricos con sólo conocer la permitividad dieléctrica de cada uno de ellos. Cabe destacar que este vector auxiliar D permitió omitir las cargas de polarización del dieléctrico y sólo utilizar las libres en la ley de Gauss.

Matemáticamente podemos definir los vectores auxiliares H y M , dividiendo miembro a miembro por μ_0 la expresión conocida:

$$\vec{B} = \vec{B}_0 + \vec{B}_M$$

$$\frac{\vec{B}}{\mu_0} = \frac{\vec{B}_0}{\mu_0} + \frac{\vec{B}_M}{\mu_0} \xrightarrow{\frac{T}{T \cdot m/A}} A/m$$

\downarrow \downarrow
 \vec{H} \vec{M}

donde $\begin{cases} \vec{H} : \text{Intensidad de campo magnético} \\ \vec{M} : \text{Magnetización} \end{cases}$

$$\therefore \frac{\vec{B}}{\mu_0} = \vec{H} + \vec{M} \quad (A/m) \Rightarrow \vec{B} = \mu_0 (\vec{H} + \vec{M}) \quad (T)$$

CÁLCULO DE \vec{B} en función de μ_r y \vec{H}

En virtud de estas definiciones, se puede extender la definición de susceptibilidad:

$$\chi = \frac{\vec{B}_M}{\vec{B}_0} \Rightarrow \chi = \frac{\vec{M}}{\vec{H}}$$

Por lo que: $\vec{B} = \mu_0 (\vec{H} + \chi \vec{H}) \Rightarrow \vec{B} = \mu_0 \underbrace{(1 + \chi)}_{\mu_r} \vec{H} \Rightarrow \boxed{\vec{B} = \mu_0 \mu_r \vec{H}}$

El producto $\mu_0 \cdot \mu_r$ se llama PERMEABILIDAD ABSOLUTA μ $\therefore \boxed{\vec{B} = \mu \vec{H}}$

CÁLCULO DE \vec{M} en función de μ_r y \vec{H}

De dos maneras:

De expresiones anteriores: $\left\{ \begin{array}{l} \vec{B} = \mu_0 (\vec{H} + \vec{M}) \\ \vec{B} = \mu_0 \mu_r \vec{H} \end{array} \right\} \Rightarrow \boxed{\vec{M} = (\mu_r - 1) \vec{H}}$

Lo que también se obtiene más sencillamente con: $\left\{ \begin{array}{l} \chi = \frac{\vec{M}}{\vec{H}} \\ \mu_r = (1 + \chi) \end{array} \right\} \Rightarrow \boxed{\vec{M} = (\mu_r - 1) \vec{H}}$

CÁLCULO DE \vec{B} en función de μ_r y \vec{M}

$$\left. \begin{array}{l} \vec{B} = \mu_o (\vec{H} + \vec{M}) \\ \vec{H} = \frac{\vec{M}}{\chi} \end{array} \right\} \Rightarrow \vec{B} = \mu_o \left(\frac{\vec{M}}{\chi} + \vec{M} \right) \Rightarrow \vec{B} = \mu_o \cdot \vec{M} \left(\frac{1}{\chi} + 1 \right)$$

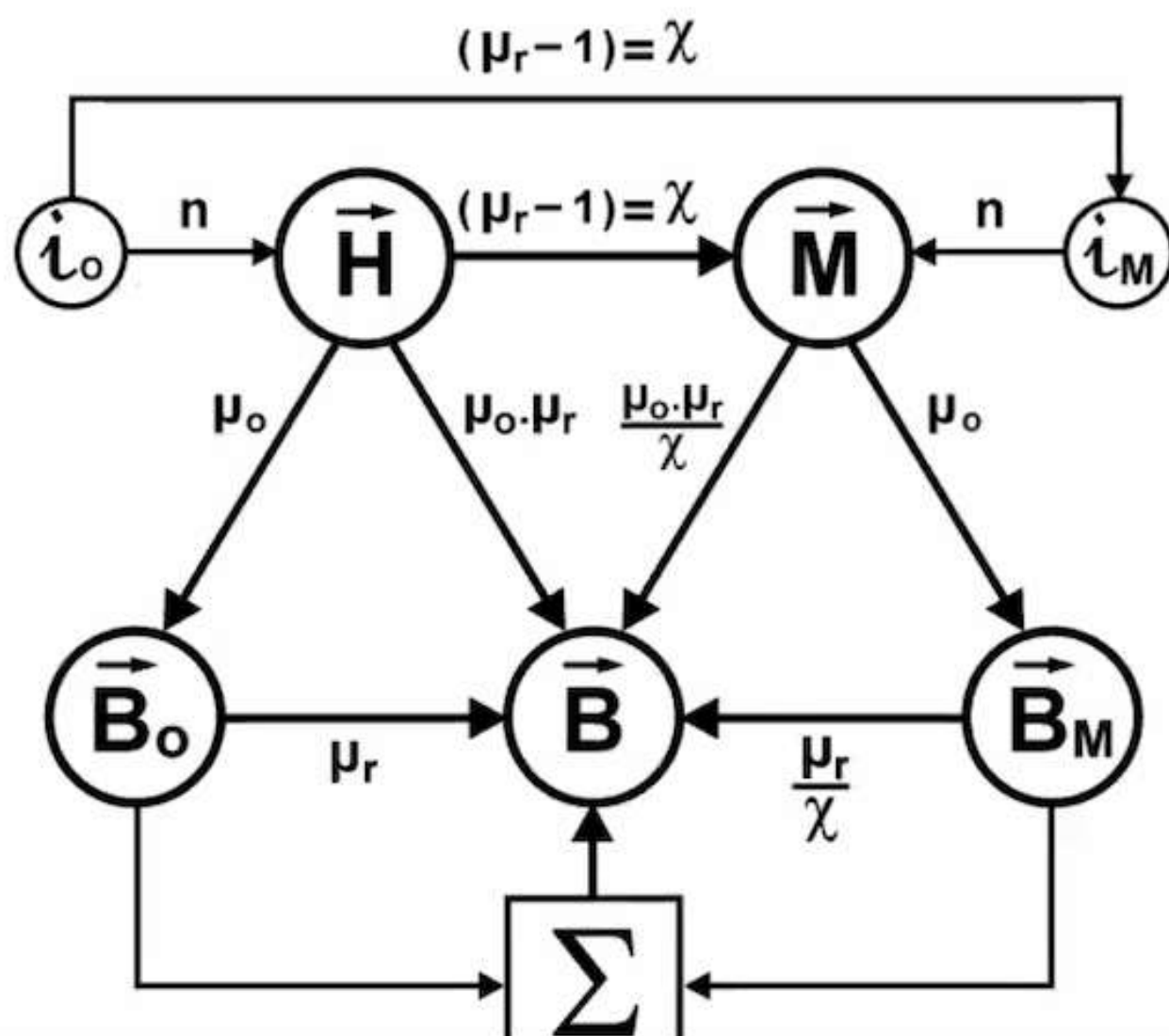
$$\therefore \vec{B} = \mu_o \cdot \vec{M} \left(\frac{1 + \chi}{\chi} \right) \Rightarrow \boxed{\vec{B} = \mu_o \cdot \vec{M} \frac{\mu_r}{\chi}} \Rightarrow \boxed{\vec{B} = \mu_o \cdot \vec{M} \frac{\mu_r}{(\mu_r - 1)}}$$

DIAGRAMA DE VECTORES

TRANSFERENCIA ENTRE NODOS

$$n = \frac{\text{Número de vueltas}}{\text{longitud de curvilínea}}$$

$$\textcircled{P} \xrightarrow{T} \textcircled{Q} \Rightarrow Q = P \cdot T$$



VECTOR MAGNETIZACIÓN \vec{M}

Un material magnético se compone de un número muy grande de dipolos magnéticos y cada uno de ellos con un momento dipolar.

El momento de dipolo magnético de un cierto volumen se calcula de manera similar al de la masa de un cierto volumen cuando se conoce la densidad del material en cuestión:

$$\text{masa} = \text{densidad} \cdot \text{volumen}$$

Un material magnético magnetizado también tiene una "densidad volumétrica de momento de dipolo magnético". Se llama VECTOR MAGNETIZACIÓN.

$$\left. \begin{array}{l} \text{densidad volumétrica de} \\ \text{momento de dipolo magnético} \end{array} \right\} \text{ VECTOR MAGNETIZACIÓN } \vec{M} = \frac{\vec{\mu}}{V} \quad (\text{A/m})$$

en donde V : Volumen del material magnético (m^3)

La ley de Ampere vincula la circulación del campo magnético con la corriente que lo produce.

$$\underbrace{\oint \vec{B}_0 \cdot d\vec{l}}_{\text{Componente de L. de Ampere sin núcleo}} + \underbrace{\oint \vec{B}_M \cdot d\vec{l}}_{\text{Componente de L. de Ampere con núcleo}} = \mu_0 \cdot N \cdot i_0 + \mu_0 \cdot N \cdot i_M$$

Dividiendo por μ_0 miembro a miembro:

$$\oint \vec{H} \cdot d\vec{l} + \oint \vec{M} \cdot d\vec{l} = N \cdot i_0 + N \cdot i_M$$

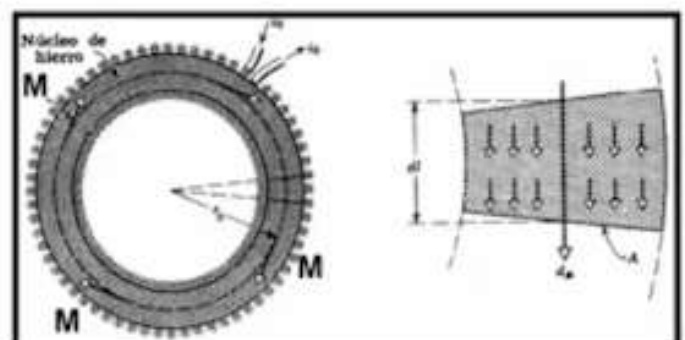
Poniendo atención en la circulación del vector magnetización:

$$\oint \vec{M} \cdot d\vec{l} = N \cdot i_M \Rightarrow M \cdot (2\pi r) = N \cdot i_M$$

Multiplicando miembro a miembro por la sección A del toroide:

$$\underbrace{M \cdot A \cdot (2\pi r)}_{\text{volumen del toroide}} = \underbrace{N \cdot i_M \cdot A}_{\text{momento magnético del toroide}}$$

$$\therefore \text{ VECTOR MAGNETIZACIÓN } \vec{M} = \frac{\vec{\mu}}{V} \quad (\text{A/m})$$



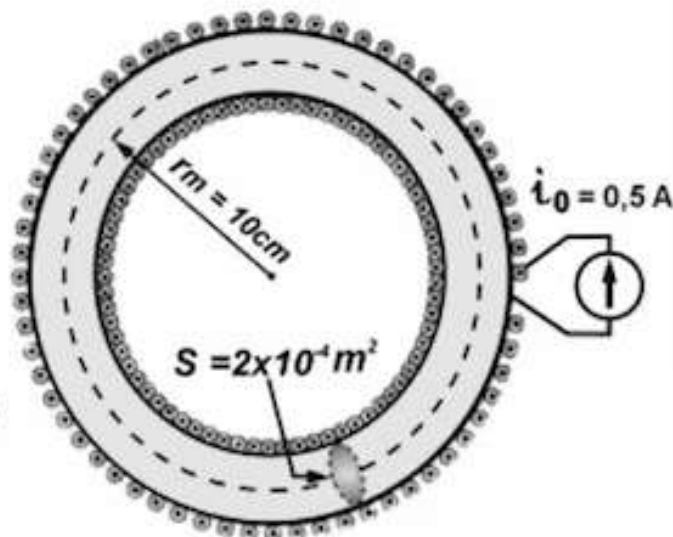
Dado el toroide de la figura, calcular los vectores H ; B ; M y la corriente de magnetización para los siguientes núcleos:

A) VACÍO

B) paramagnético $\chi = 4 \times 10^{-5}$

C) ferromagnético $\mu_r = 5000$

DATOS: $n = 2000$ vueltas/m $\mu_0 = 4\pi \cdot 10^{-7} \frac{T \cdot m}{A}$



Solución A: NÚCLEO VACÍO $\Rightarrow \chi = 0$; $\mu_r = 1$

$$> i_M = i_0 \cdot \chi \therefore i_M = 0 \text{ A}$$

$$> H = n \cdot i_0 \therefore H = 1000 \text{ A/m}$$

$$> M = \chi \cdot H \Rightarrow M = 0 \text{ A/m}$$

$$> B_0 = \mu_0 \cdot H \Rightarrow B_0 = 4\pi \cdot 10^{-7} \frac{T \cdot m}{A} \cdot 1000 \text{ A/m} \therefore B_0 = 4\pi \cdot 10^{-4} \frac{T \cdot m}{A} = 0,0013 \text{ T}$$

$$> B_M = \mu_0 \cdot M \Rightarrow B_M = 0 \text{ T}$$

$$> B = B_0 + B_M \Rightarrow B = B_0 \therefore B = 0,0013 \text{ T}$$

Solución B: NÚCLEO PARAMAGNÉTICO CON $\chi = 4 \cdot 10^{-5}$

$$> i_M = i_0 \cdot \chi \therefore i_M = 0,5 \text{ A} \cdot 4 \cdot 10^{-5} \therefore i_M = 20 \mu\text{A}$$

$$> H = n \cdot i_0 \therefore H = 1000 \text{ A/m}$$

$$> M = \chi \cdot H \Rightarrow M = 4 \cdot 10^{-2} \text{ A/m}$$

$$> B_0 = \mu_0 \cdot H \Rightarrow B_0 = 4\pi \cdot 10^{-7} \frac{T \cdot m}{A} \cdot 1000 \text{ A/m} \therefore B_0 = 4\pi \cdot 10^{-4} \frac{T \cdot m}{A} = 0,0013 \text{ T}$$

$$> B_M = \mu_0 \cdot M \Rightarrow B_M = 4\pi \cdot 10^{-7} \frac{T \cdot m}{A} \cdot 4 \cdot 10^{-2} \text{ A/m} \therefore B_M = 50,3 \text{ nT}$$

$$> B = B_0 + B_M \Rightarrow B = B_0 \therefore B \approx 0,0013 \text{ T}$$

Solución C: NÚCLEO FERROMAGNÉTICO CON $\mu_r = 5.000 \Rightarrow \chi = 4.999$

$$>) i_M = i_o \cdot \chi \therefore i_M = 0,5 \text{ A} \cdot 4.999 \therefore i_M = 2.499,5 \text{ A}$$

$$>) H = n \cdot i_o \therefore H = 1000 \text{ A/m}$$

$$>) M = \chi \cdot H \Rightarrow M = 4.999.000 \text{ A/m}$$

$$>) B_o = \mu_o \cdot H \Rightarrow B_o = 4 \pi 10^{-7} \frac{\text{T.m}}{\text{A}} \cdot 1000 \text{ A/m} \therefore B_o = 4 \pi 10^{-4} \frac{\text{T.m}}{\text{A}} = 0,0013 \text{ T}$$

$$>) B_M = \mu_o \cdot M \Rightarrow B_M = 4 \pi 10^{-7} \frac{\text{T.m}}{\text{A}} \cdot 4.999.000 \text{ A/m} \therefore B_M = 6,2819 \text{ T}$$

$$>) B = B_o + B_M \Rightarrow B = 0,0013 \text{ T} + 6,2819 \text{ T} \therefore B = 6,2832 \text{ T}$$

LEY DE OHM MAGNÉTICA

Se tiene el esquema de una bobina sin núcleo por la que circula una corriente continua como indica la figura.

Al no tener núcleo el campo magnético es:

$$\vec{B} = \vec{B}_0$$

Se traza arbitrariamente una curva cerrada cuya longitud es l_m .

Por ley de Ampere:
$$\oint \vec{B}_0 \cdot d\vec{l} = \mu_0 \cdot N \cdot i_0$$

Si el mismo bobinado se devana en un núcleo magnético, el campo total circulante será:

$$\vec{B} = \vec{B}_0 + \vec{B}_M = \mu_r \vec{B}_0$$

$$\Rightarrow \vec{B}_0 = \frac{\vec{B}}{\mu_r}$$

Remplazando en la ley de Ampere:

$$\oint \frac{\vec{B}}{\mu_r} \cdot d\vec{l} = \mu_0 \cdot N \cdot i_0 \Rightarrow \oint \vec{B} \cdot d\vec{l} = \underbrace{\mu_0 \cdot \mu_r}_{\mu} \cdot N \cdot i_0$$

$$\therefore \oint \vec{B} \cdot d\vec{l} = \mu \cdot N \cdot i_0$$

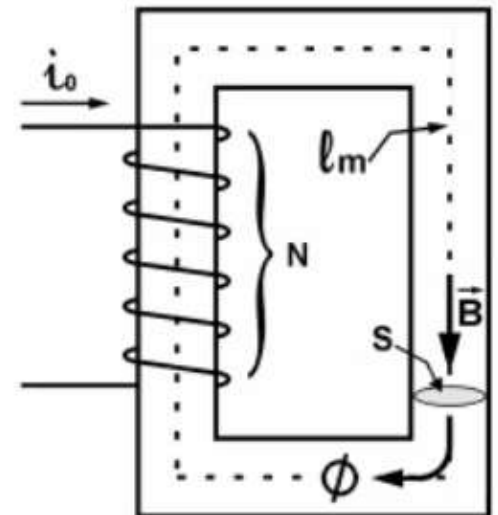
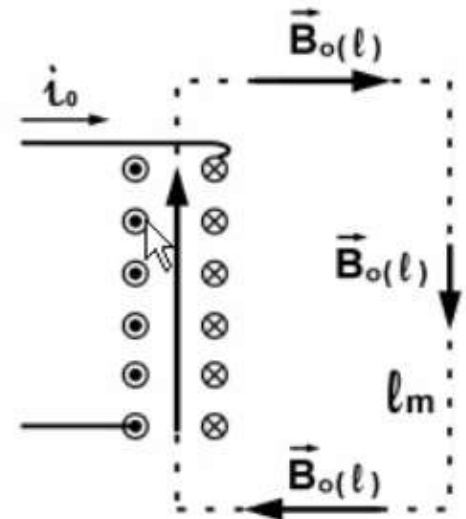
Nótese que el concepto de permeabilidad relativa permite omitir válidamente la corriente de magnetización en el segundo miembro.

Mediante pasos algebraicos se puede transformar la ley de Ampere en la ley de Ohm magnética.

$$>) \oint \vec{B} \cdot d\vec{l} = B \cdot l_m \therefore B \cdot l_m = \mu \cdot N \cdot i_0$$

>) Para evaluar el flujo magnético ϕ del campo B se multiplica miembro a miembro por la sección del circuito magnético "S".

$$B \cdot S \cdot l_m = \mu \cdot S \cdot N \cdot i_0 \therefore \phi \cdot l_m = \mu \cdot S \cdot N \cdot i_0$$



>) De lo anterior se puede expresar el flujo del campo magnético como el cociente abajo descrito:

$$\phi = \frac{N \cdot i_0}{\frac{l_m}{\mu \cdot S}} = \frac{\text{Fuerza magnetomotriz}}{\text{Reluctancia}}$$

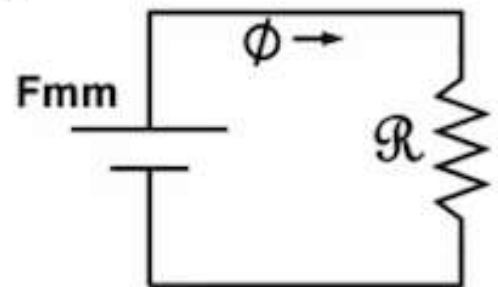
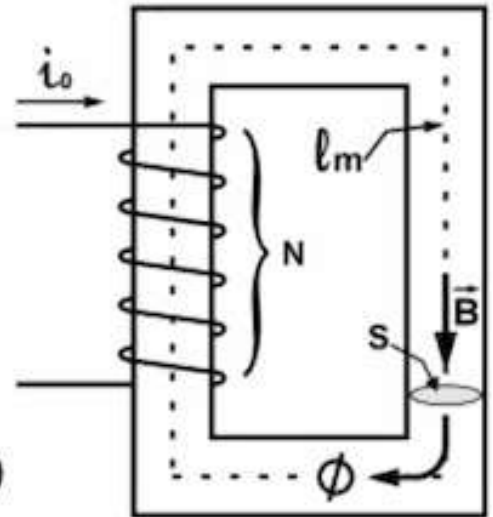
ϕ \rightarrow Flujo del campo magnético \vec{B} (Wb)

$N \cdot i_0$ \rightarrow Fuerza magnetomotriz \rightarrow Fmm (A.vuelta)

$\frac{l_m}{\mu \cdot S}$ \rightarrow Reluctancia \mathcal{R} del núcleo $(\frac{\text{Wb}}{\text{A}}) \equiv (\text{Hy}^{-1})$

LEY DE OHM
MAGNÉTICA

$$\phi = \frac{F_{mm}}{\mathcal{R}}$$



EJERCICIO 2

Dado el circuito magnético de la figura hallar:

- Fuerza magnetomotriz del circuito
- Reluctancia \mathcal{R} del núcleo
- Flujo magnético Φ
- Flujo concatenado Φ_c
- Inductancia L de la bobina

DATOS DEL CIRCUITO

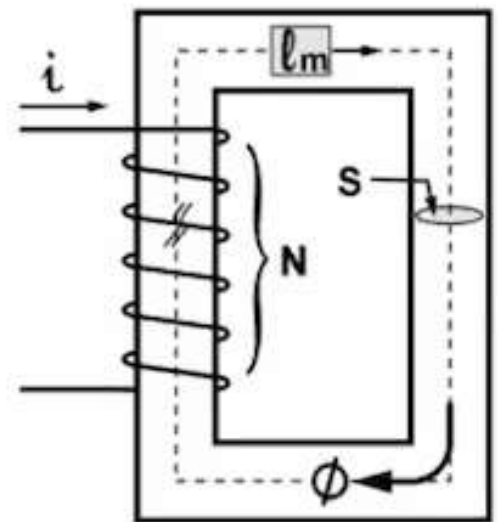
$$N = 500 \text{ vueltas}$$

$$i = 0,5 \text{ A}$$

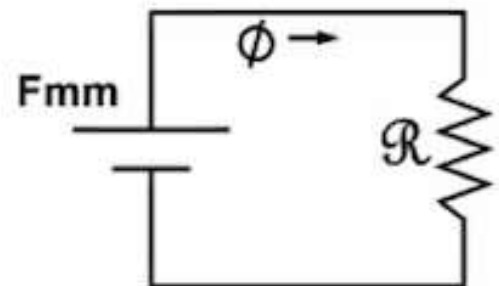
$$\left. \begin{array}{l} \mu_r = 4.000 / (0,5 \text{ A}) \\ \mu_0 = 4 \pi 10^{-7} \frac{\text{T.m}}{\text{A}} \end{array} \right\} \mu = 0,00503 \frac{\text{T.m}}{\text{A}}$$

$$l_m = 0,4 \text{ m}$$

$$S = 2 \cdot 10^{-4} \text{ m}^2$$



CIRCUITO MAGNÉTICO



CIRCUITO EQUIVALENTE

SOLUCIÓN

$$a) F_{mm} = N \cdot i = 250 \text{ A.vuelta}$$

$$b) \mathcal{R} = \frac{l_m}{\mu_0 \mu_r S} = \frac{0,4 \text{ m}}{0,00503 \times 2 \cdot 10^{-4} \frac{\text{T.m}}{\text{A}}} = 397.614,3 \frac{\text{A}}{\text{Wb}}$$

$$c) \Phi = \frac{F_{mm}}{\mathcal{R}} = \frac{250 \text{ A.vuelta}}{397.614,3 \frac{\text{A}}{\text{Wb}}} = 6,29 \cdot 10^{-4} \text{ Wb}$$

$$d) \Phi_c = N \cdot \Phi = 500 \cdot 6,29 \cdot 10^{-4} \text{ Wb} = 0,314 \text{ Wb}$$

$$e) L = \frac{\Phi_c}{i} = \frac{0,314 \text{ Wb}}{0,5 \text{ A}} \therefore L = 0,628 \text{ Hy}$$

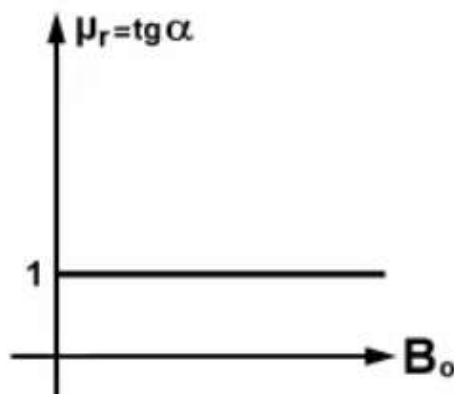
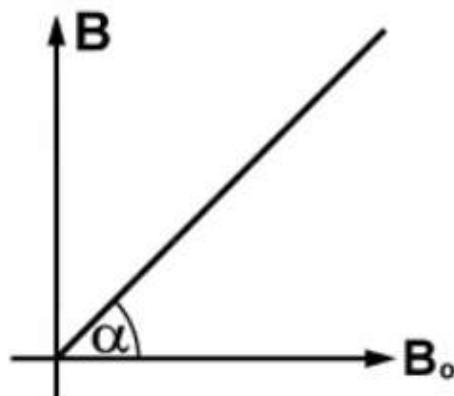
(L también se puede calcular como: N^2 / \mathcal{R})

NÚCLEOS MAGNÉTICOS CON ENTREHIERRO

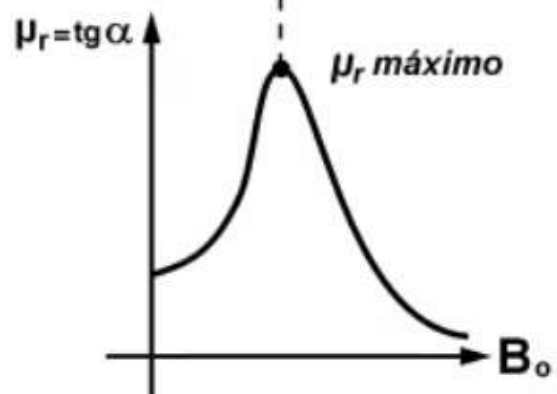
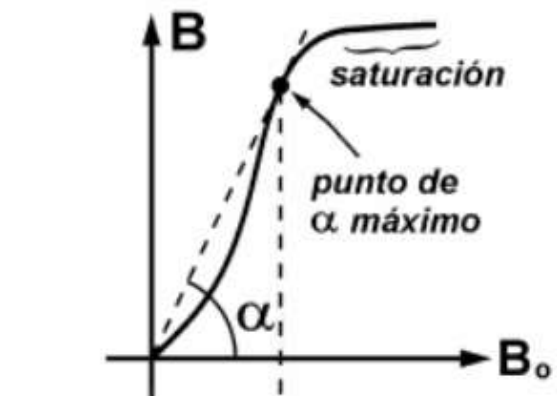
El núcleo ferromagnético aumenta notable y beneficiosamente el valor de la autoinductancia del inductor dado el alto valor de permeabilidad relativa del hierro en relación a la del aire. La desventaja es que el valor de permeabilidad es muy variable, cuestión que acarrea cambios en el valor de la autoinductancia que en teoría debería ser constante.

Se ve en los gráficos la alinealidad de la curva B vs B_0 , y la consecuente variación de μ_r ya que este parámetro es la tangente de dicha curva.

Por la definición de μ_r : $\vec{B} = \mu_r \cdot \vec{B}_0$ \therefore μ_r es la tangente del ángulo α



Núcleo aire



Núcleo ferromagnético

RESPUESTA ALINEAL DEL NÚCLEO FERROMAGNÉTICO

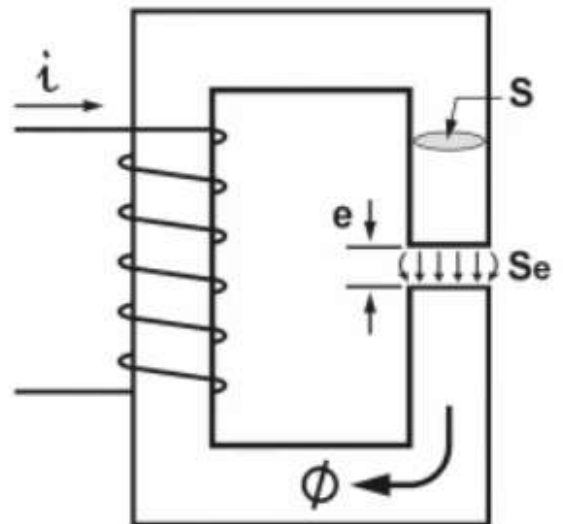
Esa alinealidad se hace extrema cuando el núcleo llega a la SATURACIÓN (máximo alineamiento de los dominios magnéticos). Esto es un tope de imanación en la zona plana de la curva de B vs B_0 . En esta situación, el material ferromagnético termina comportándose como paramagnético.

$$\mu_r = \frac{\vec{B}}{\vec{B}_0}$$

$$L = \frac{\mu_0 \mu_r N^2 S}{l_m} = \frac{N^2}{\mathcal{R}}$$

Para morigerar la alinealidad de la permeabilidad relativa se agrega al núcleo ferromagnético un **ENTREHIERRO**.

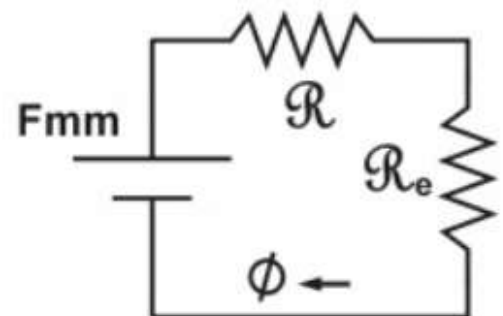
El entrehierro es un estrecho espacio de aire cuya reluctancia es mucho mayor que la del hierro (dado que su $\mu_r = 1$), pero muy constante.



$$\left. \begin{aligned} R_e &= \frac{e}{\mu_0 \cdot S} \\ R &= \frac{l_m - e}{\mu_0 \cdot \mu_r \cdot S} \end{aligned} \right\} R_{\text{total}} = \underbrace{R + R_e}_{R_e \gg R}$$

Con ello se sacrifica el valor de autoinductancia a cambio de su estabilidad.

$$L = \frac{N^2}{R + R_e}$$

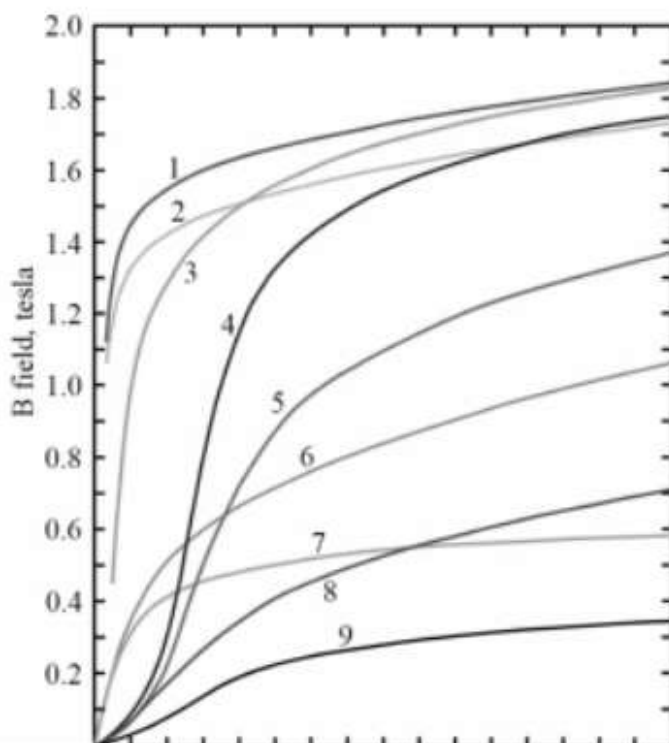


VALORES DE SATURACIÓN DE MATERIALES FERROMAGNÉTICOS

El otro efecto del entrehierro es limitar el valor de campo magnético que satura el núcleo.

El gráfico de abajo muestra en detalle los valores de saturación para cada material ferromagnético.

Puede apreciarse que el valor de B no supera los 2 Teslas en caso alguno.

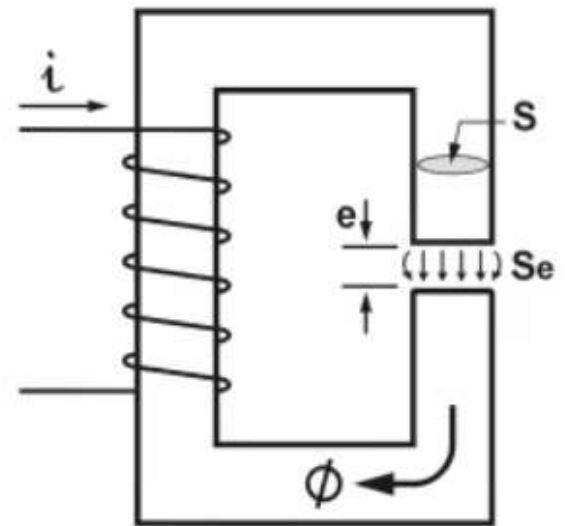


Curvas de magnetización de nueve materiales ferromagnéticos diferentes, mostrando el efecto de saturación.

1. Hoja de acero, 2. Acero al silicio, 3. Acero de crisol, 4. Acero al tungsteno, 5. Acero magnético, 6. Hierro de crisol, 7. Níquel, 8. Cobalto, 9. Magnetita.¹

Dado el circuito magnético de la figura hallar:

- Fuerza magnetomotriz del circuito
- Reluctancia \mathcal{R} del núcleo con entrehierro
- Flujo magnético Φ
- Flujo concatenado Φ_c
- Inductancia L de la bobina



DATOS DEL CIRCUITO

$$N = 500 \text{ vueltas}$$

$$i = 0,5 \text{ A}$$

$$\mu_r = 4.000$$

$$\mu_0 = 4 \pi 10^{-7} \frac{\text{T.m}}{\text{A}} \quad \left. \vphantom{\mu_0} \right\} \mu = 0,00503 \frac{\text{T.m}}{\text{A}}$$

$$l_m = 0,399 \text{ m} \quad e = 0,001 \text{ m}$$

$$S = 2 \cdot 10^{-4} \text{ m}^2 \quad S_e = 2,2 \cdot 10^{-4} \text{ m}^2$$

SOLUCIÓN

$$a) F_{mm} = N \cdot i = 250 \text{ A.vuelta}$$

$$\mathcal{R} = \frac{l_m}{\mu_0 \mu_r S} = \frac{0,399 \text{ m}}{0,00503 \times 2 \cdot 10^{-4} \frac{\text{T.m}}{\text{A}}} = 396.620,3 \frac{\text{A}}{\text{Wb}}$$

$$\mathcal{R}_e = \frac{e}{\mu_0 \mu_r S} = \frac{0,001 \text{ m}}{4 \pi 10^{-7} \times 1 \times 2,2 \cdot 10^{-4} \frac{\text{T.m}}{\text{A}}} = 3.617157,8 \frac{\text{A}}{\text{Wb}}$$

$$b) \mathcal{R}_{in} = \mathcal{R} + \mathcal{R}_e = 4.013.778,1 \frac{\text{A}}{\text{Wb}}$$

$$c) \Phi = \frac{F_{mm}}{\mathcal{R}_{in}} = \frac{250 \text{ A.vuelta}}{4.013.778,1 \frac{\text{A}}{\text{Wb}}} = 6,229 \cdot 10^{-5} \text{ Wb}$$

$$d) \Phi_c = N \cdot \Phi = 500 \cdot 6,229 \cdot 10^{-5} \text{ Wb} = 0,0311 \text{ Wb}$$

$$e) L = \frac{\Phi_c}{i} = \frac{0,0311 \text{ Wb}}{0,5 \text{ A}} \therefore L = 0,0622 \text{ Hy}$$

